

**CONCANAVALİN A'nın TRİTON X-114 İKİ FAZLI SİSTEMİYLE AYRILMIŞ
DOMUZ KARACİĞER MEMBRANLARINDAN ELDE EDİLEN İKİ
FARKLI İNSÜLN RESEPTÖR POPÜLASYONU
ÜZERİNDEKİ TESİRLERİ x**

Dr. H.T. SESSİZxx

ÖZET

Domuz karaciğer membran ekstraktları Triton X-114 deterjanında solubilize edilerek kullanılan insülin reseptör proteinlerinin, A 14-J1²⁵-İnsülin (MC) izleyiciliğinde natif insülini normal bağlamaları ve bu bağlanmalara muhtelif konsantrasyonlarda Concanavalin A (Con A) lektininin etkileri araştırıldı.

Con A 1 mg/ml. konsantrasyonda % 93'e varan bir inhibisyonu sebep oldu. Normal insülin bağlanmasında K_D 10^{-10} nMlik seviyeden ($3,6 \times 10^{-10}$) 10^{-9} nM lik seviyeye ($1,1 \times 10^{-9}$) Con A'nın 10 ug/ml. lik konsantrasyonunda reseptörün insüline karşı ilgisinin azaldığını belgeledi.

TX-114 deterjan vasitasiyle iki fazlı sistemde (*Supernatan+pellet*) ayrılabilecek insülin reseptörlerine Con A'nın inhibisyon etkileri farklı şekilde görüldü. Şöyledir; süpernatan fazda kalan reseptörler hemen tamamen insülinin normal bağlanması sağlanabiliyorken, Triton fazı yani pellet = sedimentte nisbeten pek bağlama olmadı.

Dolayısıyle insülin reseptörlerinin iki ayrı popülasyon teşkil edebileceği kanaatina varıldı.

Gerek total membran ekstraktı, gerek supernatan fazda ve gerekse sedimentte Con A'nın inhibitör etkileri olmakla beraber en fazla bu inhibisyon sedimentte (Tx-114 fazında) görüldü. Bu da reseptörlerin iki ayrı popülasyon da toplandığı izlenimini vermektedir. Zira Con A' inhibisyonuyla reseptörlerin bağlanma eğrilerindeki yüksek affiniteli ve düşük kapasiteli ilk inen kısmı, düşük affiniteli ve yüksek kapasiteli hale gelmektedir. Bu fark da Tx-114 fazında en fazla olması dolayısıyle düşük affiniteli reseptör popülasyonu sedimentte toplanabilmiş olmalıdır.

(x) Bu çalışma, Biyokimya Departmanı, Diabet Araştırma Enstitüsü Auf'm Hennekamp 65-4-Düsseldorf-FRG'de yapılmıştır.

(xx) Atatürk Univ. Tıp Fak. Biyokimya Öğr. Üyesi (Doç. Dr.)

Süpernatanda yüksek bağlanabilme affinitesi gösteren insülin reseptör popülasyonu nisbeten daha pürifiye edilmiş olarak radio-reseptör insülin tayin metodlarına da kaynak teşkil edebilir.

Experimental tefferruatlar bulgular kısmında mevcuttur.

GİRİŞ:

Concanavalin A' (Con A) insüline benzer aktivitete sahiptir ve insülin reseptörleri vasitasiyle bu etkiler gösterilmiştir (1,2,3). Intakt hücre ve de solubilize insülin reseptörleri Con A ile muamele edilince insülin bağlanma aktivitesinde de bir azalmaya, insan eritrositlerinde ise yüksek affiniteli insülin reseptör populasyonunun eksilmesiyle sonuçlanır (4). Farelerin solubilize yağ hücreleri insülin reseptörlerine, insülin ve Con A'nın müstereken bağlandığı görülür (5).

İnsülinin intakt hücrelere bağlanmasıının inhibe edilmesi, lektinlerle insülin reseptörleri arasındaki direkt reaksiyona bağlı olduğu kabul edilmektedir.

Deterjanla solubilize edilmiş insülin reseptörlerinin Con A ile muamelesi, insülin bağlama kapasitesinde bir azalmaya sonuçlanır. Karbohidrat ihtiva eden bileşiklerde olması gereken hususiyetlerin farklı bir şekilde bu lektinlerde olduğu fakat fonksiyonel olarak insülin reseptörlerine bağlandığında ortaya çıktıgı farkedilmektedir. Con A insülin ve insülin reseptörlerine biri diğerini inhibe etmeden müsterek bağlanır.

İnsülinin reseptörlerine kompetitif olarak bağlanması, Scatchard'a göre grafiklendiğinde (4,7) tipik olarak kurvelineardır. Mamafih domuz karaciğer membranları üzerindeki insülin reseptörlerinin iki populasyonlu olduğunu farketmek de mümkündür.

Laboratuvarımızda yakında yapılmış deneylerde, Triton x-114 iki fazlı sisteme ayrılmış insülin reseptörlerinin insülin için farklı affinitite ve bağlama kapasiteli iki ayrı populasyona sahip olduğunu gösterebildik (6. Hazırlanmakta).

Concanavalin A'nın bir lektin olarak sepsifik konsantrasyonlarıyla, insülin aktivitelerinde bazı gösterilere sahip olacaktır; söyleki bu insülin reseptör populasyonlarından birini inhibe ederken diğer populasyona tesirsiz olabilir (4).

Scatchard eğrilerinin ince kısımdaki reseptör populasyonu yüksek affinitite ile birlikte alçak kapasiteye sahip iken, diğer kısmı düşük affinitite ve yüksek kapasiteye sahiptir (4). Lektinlerin insüline benzer tesirleri için sorumlu mekanizma hâlâ tam bilinmemektedir. Con A ve insülinin, bağlanma bölgelerinin yapısal benzerliğinde bir payı olması gerektiği düşünülmektedir (4,3).

Lektinlerin bu aktiviteleri, insülinin aksiyonlarından ayrı olarak reseptör kalıntılarıyla de ortaya çıkar. Lektinle ve insülinlerin tesirleri arasındaki herhangi bir geniş ve mukayeseli çalışmaya pek az rastlanır. Ayrıca reseptörün daha ileri

pürifikasyonu için başlangıç materyeli olarak triton ekstraktları kullanılır. İnsülin konsantrasyonlarını tayin için radioreseptör testinde de bir triton ekstraktları bir kaynak olarak kullanılabilir (7).

Dolayısıyle, şimdiki çalışmanın amacı bu iki insülin reseptör popülasyonunun Con A ile nasıl interaksiyon gösterdiği idi. İnsülin reseptör molekülünün karbonhidrat kalıntılarıyla Con A interaksiyon göstermesi faraziyesinden giderek bu dene nemeye iki populasyon arasında bu fonksiyonel farklılıkların molekülün karbonhidrat mı yoksa protein kalıntılarıyla mı ilgili olduğu gösterilebilir.

MATERYALLER

Domuz monokomponent (MC)- insülin ve Mono- 125J- (Tyr-A14)- insülin De-novo, Danimarka firmasından seçildi. Sığır serum albumini (Cohn Fraksiyonu V), Triton x-114 ve Con A Serva Feinbiochemica, Heidelberg firmasındandı. Enzymobead'ler BioRad, Münih, ve Na 125 I. New England Nuclear, Boston. Mass'den idi. Bütün diğer kemikaller analitik safliktaydı.

YÖNTEMLER

Domuz karaciğer membranları önceden bildirildiği gibi % 1 Triton x-114 ile ekstrakte edilerek hızlandı (7). MC- insülinin iyodinasyonu 150-200 uci/ug spesifik aktivitede tarif edildiği gibi yapıldı (7).

Protein tayini standart olarak LAB- trol ile Lowry ve arkadaşlarının (8) metoduna göre uygulandı.

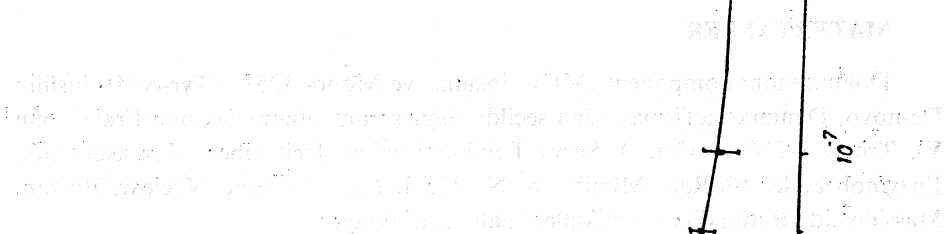
İnsülin bağlama aktivitesi Cuatrecasas'a göre tayin edildi (9). Bağlama veri-verilerinin analizleri Scatchard metoduyla yürütüldü (10). Bütün bağlama deneyleri üçlü veya altılı yapıldı. Bağlı/serbest (B/S) insülin oranı, 10^{-6} M işaretsiz MC-insülin mevcudiyetinde tayin edilerek non spesifik bağlama için düzeltildi.

Triton x-114 iki fazlı sistemdeki faz ayrimı için bazı modifikasyonlarla Bordier'in (11) şeması takip edildi (6). Bütün bağlama denemeleri için, Con A bağlama aktivitesinde lüzumlu olan ve ilâveten 1 mM^{+2} ihtiva eden Gambhir'in G tamponu kullanıldı (13). Diğer bütün deneysel teferruatlar tablo ve şekiller altında açıklanmıştır.

BULGULAR

Öncelikle % 1 Tx-114 de solubilize domuz karaciğer membranları kullanılarak 10^{-10} ile 10^{-6} M arasındaki konsantrasyonlardaki natif insülinin reseptör proteinlerine normal bağlanması takip edildi. J¹²⁵-İnsülin aktivitelerinden % olarak ordinata geçirildiğinde insülin molaritelerine karşı kurvilinear bir eğri elde edildi (Şekil-1).

The following graph shows the effect of insulin concentration on the rate of glucose uptake by rat peritoneal fat cells. The y-axis is labeled "10⁻⁶ μM Mol insulin" and the x-axis is labeled "Rate". The curve shows that the rate of glucose uptake increases with insulin concentration, reaching a plateau at approximately 10⁻⁶ μM.



10. The following table summarizes the results of the study. The first column lists the variables, the second column lists the sample size, and the third column lists the estimated effect sizes.

...and the Lord said unto me, "Go forth into all the world and preach the gospel to every creature."

10^{-8} 5f

10. The following table shows the number of hours worked by each employee in a company.

Bağışlar

1 x 10⁻¹ mol/l

9-9

10251

normal *abnormal*

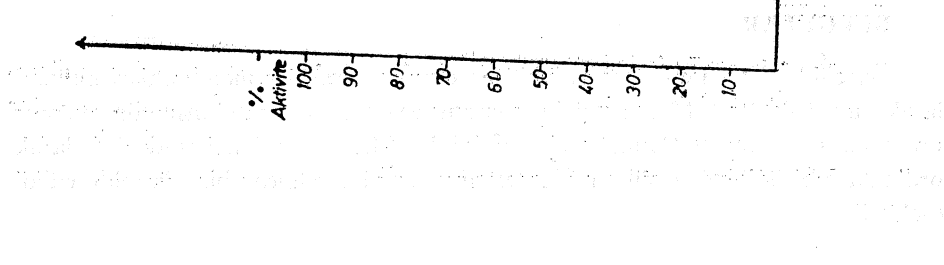
Name

10^{11} week

Algebraic structures and their applications to problems in computer science

Figure 1. A schematic diagram of the experimental setup. The laser beam passes through a lens and a polarizer, and is focused onto the sample surface. The reflected light is collected by a lens and a polarizer, and is detected by a photomultiplier tube (PMT). The PMT signal is processed by a lock-in amplifier and a computer.

Country	Percentage (%)
A	10
B	20
C	30
D	40
E	50
F	60
G	70
H	80
I	90
J	100
K	10
L	20
M	30
N	40
O	50
P	60
Q	70
R	80
S	90
T	100
U	10
V	20
W	30
X	40
Y	50
Z	100



İnkübasyonlar, 15°C ta 16 saat süre ile uygulanmıştır. Her 300 ul reaksiyon karışımındaki membran ekstrakt proteininin konsantrasyonu (%1 Tx-114 ekstrakt) 25 ug. idi. Bağlama tamponu G:10 mM MgCl₂, 10 mM CaCl₂, 50 mM Hepes 50 mM Tris, 2mM EDTA, 10 mM Dekstroz, 1 mM mMnSO₄, 50 mM NaCl 5 mM KC1 ve % 1 sığır albumini (BSA) ile pH= 7.8'e ayarlı kullanıldı; BSA taze olarak ilâve edildi. Reseptör proteinin dilüsyonu için (1 mg/1 ml. ye) A tamponu kullanıldı. A tamponunda (BSP) hariç yerine deterjan konsantrasyonunun idamesi için % 0,5 Tx-114 kullanıldı. Nihai Tx-114 konsantrasyonu inkübasyon karışımında % 0,08 ve reseptör konsantrasyonu 50 ug/0,3 ml. idi. Vakum filtrasyonu için Millipore filtreleri (EHPW, 1 um delikli) kullanıldı.

Spesifik bağlama, 1×10^{-6} M konsantrasyonda kullanılan sığır monokomponent insüline ait spesifik olmayan bağlama çıkartılarak hesaplandı.

Bağlı J125-İnsülin: İnsülinin presipitasyonu PEG (Polietilen glikoz) metoduna göre uygulandı. A-14 mono J125-İnsülin konsantrasyonu 1×10^{-9} M idi. Con A reseptör eksikliğinde insülini bağlamaz. Con A, reseptörle beraber İnkübe edildiğinde neticede gözle görülebilir bir karışım oluşur, 1 mg/ml. Con A konsantrasyonunda % 93'e kadar bir inhibisyon görülebilir. Con A'nın artan konsantrasyonu ile tipki kuvvilinear eğriye benzer tarzda yüzde spesifik bağlama aktivitesi azalır. Bu insülin bağlanmasındaki kayıp solüsyondan Con A'nın hasıl ettiği insülin reseptör proteininin uzaklaştırılmasını imha eder. Çözünür, fraksiyondan insülin bağlama kapasitesindeki kayıplar çözünmiyen radioaktivitedeki artışlarla ilgili olarak hesaba katılabilir.

Con A'nın 50 ug/ml konsantrasyonunda % 8 bir inhibisyon tesiri görülürken 500 ug/ml. Con A konsantrasyonunda % 89'a varan bir inhibisyon vardır (Tablo-1) Con A konsantrasyonu arttığında bağlı ^{125}I -İnsülin, 10 dakika sonra hızlı bir tarzda çözünür (Yayınlanmamış neticeler).

Tablo -1: Çözünür hale getirilmiş domuz insülin reseptörleri ile ^{125}I -İnsülinin bağlanmasına Con A'nın tesirlerinin titrasyonu.

İlaveler Con A (ug/ml)	Spesifik Aktivite Mol/mg Protein x10 ¹⁴	% Recovery (Bağlı J125-İnsülin)
0	13±0,4*	100± 3
10	4,9±0,1	38± 8
50	2,6±1,3	20± 10
100	2±0,5	15± 4
250	17,±0,8	13± 6
500	1,4±1,1	11± 8
1000	0,9±1,3	7±10

Sonuçlar 300 ul. reaksiyon karışımındaki 3 tekrar edilebilen denemelerin ortalamasıdır. Her bir ferdî deneme de üçlü tarzda yapılmıştır.

x: Standart hata, en yüksek değerlerden en düşüklerini çıkartıp ikiye bölmek bölmek suretiyle bulunmuştur. Standart deviasyonlar $SD = \sqrt{\sum_{i=1}^n (x_i - \bar{x})^2 / n}$ formülüne denhesaplanmıştır.

Cök yüksek Con A konsantrasyonları yavaş filtrasyonlara sebep olur. Bu sebeple standart deviasyonlar 1 mg/ml, gibi yüksek Con A Konsantrasyonlarında çok geniş aralıktadır.

Domuz karaciğer membranlarından solubilize edilen insülin reseptörleri (R), $1 \times 10^{-9} M$ A-14, ^{125}J -insülin ile inkübe edildi. Bu reseptör Proteinin konsantrasyonu $25 \mu g/0,3 ml$ idi ve inkübasyon $15^\circ C$ 'ta 16 saat süreyle uygulandı. (Bak: Şekil 1)

Bağlama Tamponu: 0,1 Na PO₄, pH = 7,8 idi. Ayrıca içine % 1 BSA taze olarak ilâve edildi. Mono komponent domuz insülini $1.5 \times 10^{-14} M$ ile $3 \times 10^{-10} M$ arasında 12 kademe uygulandı. En son tüpler en küçük, eşik (ground) aktivitede bulunduklarından, spesifik bağlama (cpm) değerlerini bulmak için diğer cpm değerlerinden çıkarıldı.

Bağlı ^{125}J -insülin, PEG metodu ile tayin edildi. Tx-114 konsantrasyonu inkübasyon karışımında % 0,1 idi. Oluşan presipitat 20 p.s.i. lik basınç altında Millipore filtrelerinden süzüldü.

Scatchard eğrisinin yüksek afiniteli kısmı $5 \mu g/ml$. ve 10 ml. konsantrasyonda Concanavalin A kullanarak azaltılmıştır.

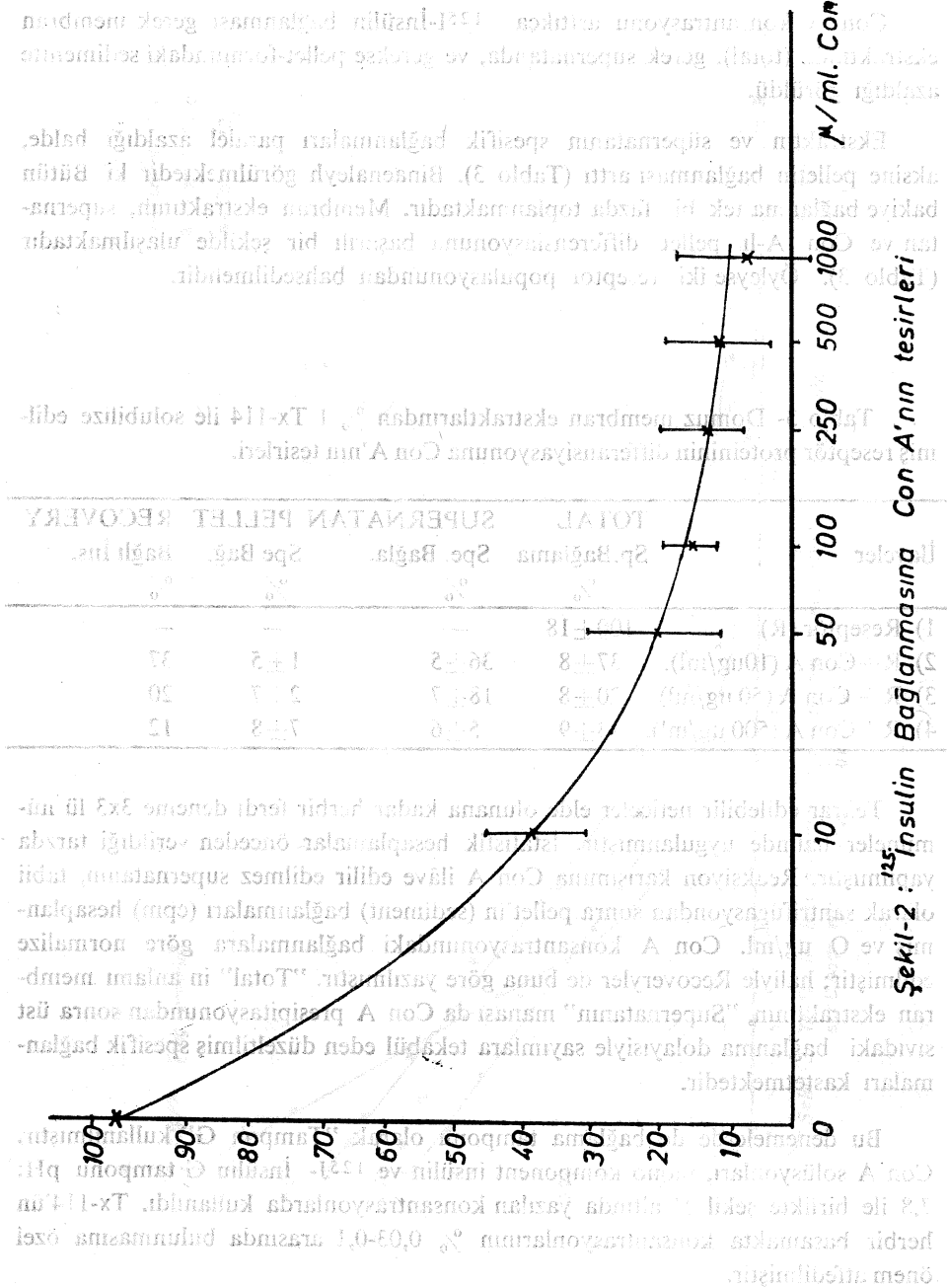
Tablo 2- Con A varlığında ve yokluğunda Scatchard eğrisinden çıkarılan bağlama parametrelerin karşılaştırılması.

İlaveler	K_D (nM)	R (pM)
1- Reseptör	0,36	0,64
2- Reseptör + 5 $\mu g/ml$. Con A	0,87	1,17 (molar) A μg
3- Reseptör + 10 $\mu g/ml$. Con A	1,10	

K_D : Dissosiyasyon sabiti (Reseptörün)

R : Maksimum bağlanma sabiti (Reseptörün)

K_D ve R değerleri Scathard eğrilerinin inen kısmından elde edilebilir. Eğrilerin eğimleri intrinsek affinite sabitleri (K_a)'ya eşittir. Abisis üzerindeki kesim noktaları her bir tipe ait n_1 ve n_2 gibi kenar sayılarını verir; burada insülin reseptör proteininin en yüksek affinite kısmı ile ilgilenilir.



Her bir değer 3 lü denemelerden ve herbir üçlü deneme de üçlü çalışılan inkubasyon tüplerinin birbirini destekleyen neticelerinden elde edilmiştir.

Spesifik cpm sayımları Mol insülin/mg. protein olarak normalize edilmiştir.

Con A konsantrasyonu arttıkça ^{125}I -İnsülin bağlanması gerek membran ekstraktında (total), gerek supernatanda, ve gerekse pellet-formundaki sedimentte azaldığı görüldü.

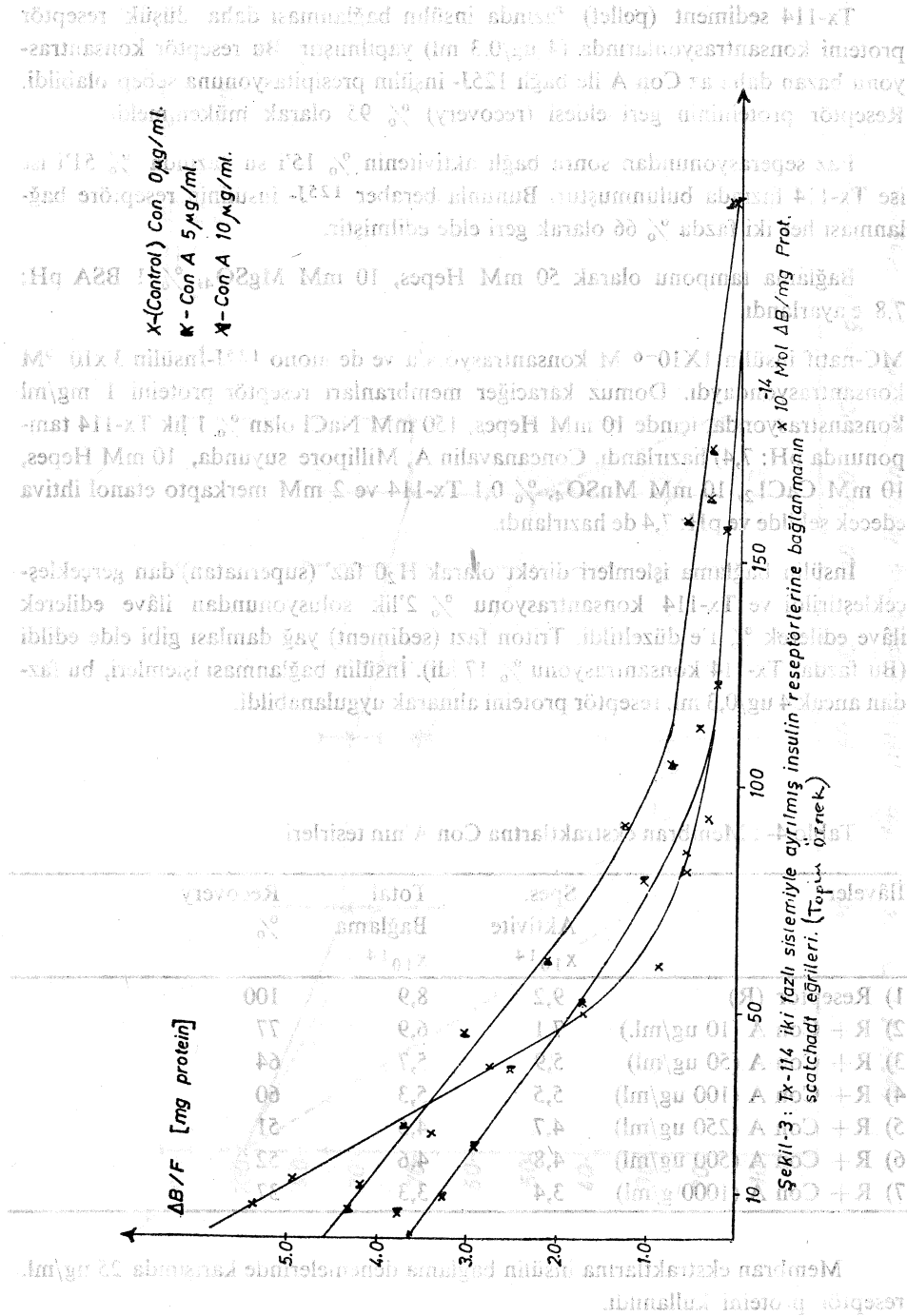
Ekstraktın ve süpernatanın spesifik bağlanmaları paralel azaldığı halde, aksine pelletin bağlanması arttı (Tablo 3). Binaenaleyh görülmektedir ki Bütün bakiye bağlanma tek bir fazda toplanmaktadır. Membran ekstraktının, supernatant ve Con A-li pellet differansiyasyonuna başarılı bir şekilde ulaşımaktadır (Tablo 3). Öyleyse iki reseptör populasyonundan bahsedilmelidir.

Tablo 3- Domuz membran ekstraktlarından % 1 Tx-114 ile solubilize edilmiş reseptör proteininin differansiyasyonuna Con A'nın tesirleri.

İlaveler	TOTAL Sp.Bağlama %	SUPERNATAN PELLET RECOVERY Spe Bağla. % Bağılı İns. %	Spe Bağ. %	Bağılı İns. %
	%	%	%	%
1) Reseptör (R)	100±18	—	—	—
2) R+Con A (10ug/ml).	37±8	36±5	1±5	37
3) R+ Con A (50 ug/ml).	20±8	18±7	2±7	20
4) R+Con A (500 ug/ml).	13±9	5±6	7±8	12

Tekrar edilebilir neticeler elde olunana kadar herbir ferdi deneme 3x3 lü nümuneler halinde uygulanmıştır. İstatistik hesaplamalar önceden verildiği tarzda yapılmıştır. Reaksiyon karışımına Con A ilâve edilir edilmez supernatinan, tabii olarak santrifügasyondan sonra pellet'in (sediment) bağlanmaları (cpm) hesaplanmış ve O ug/ml. Con A konsantrasyonundaki bağlanmalara göre normalize edilmiştir; haliyle Recoveryler de buna göre yazılmıştır. "Total" in anlamı membran ekstraktının, "Supernatanın" manası da Con A presipitasyonundan sonra üst sıvıdaki bağlanma dolayısıyle sayımlara tekabül eden düzeltilmiş spesifik bağlanmaları kastetmektedir.

Bu denemelerde de bağlama tamponu olarak "Tampon G" kullanılmıştır. Con A solüsyonları, mono komponent insülin ve ^{125}I -İnsülin G tamponu pH: 7,8 ile birlikte şekil 1' altında yazılan konsantrasyonlarda kullanıldı. Tx-114'ün herbir basamakta konsantrasyonlarının % 0,03-0,1 arasında bulunmasına özel önem atfedilmiştir.



Sekil-3: Tx-114 iki fazlı sistemiyle ayrılmış i scatçhadt eğrileri. (Toplu örnek)

Tx-114 sediment (pellet) fazında insülin bağlanması daha düşük reseptör proteini konsantrasyonlarında ($4 \text{ ug}/0,3 \text{ ml}$) yapılmıştır. Bu reseptör konsantrasyonu bazan daha az Con A ile bağlı ^{125}J -insülinin presipitasyonuna sebep olabildi. Reseptör proteininin geri eldesi (recovery) % 95 olarak mükemmelidi.

Faz seperasyonundan sonra bağlı aktivitenin % 15'i su fazında % 51'i ise ise Tx-114 fazında bulunmuştur. Bununla beraber ^{125}J -insülinin reseptöre bağlanması her iki fazda % 66 olarak geri elde edilmiştir.

Bağlama tamponu olarak 50 mM Hepes , 10 mM MgSO_4 , % 1 BSA pH: 7,8 e ayarlandı.

MC-natif insülin $1 \times 10^{-6} \text{ M}$ konsantrasyonda ve de mono ^{125}J -insülin $3 \times 10^{-9} \text{ M}$ konsantrasyondaydı. Domuz karaciğer membranları reseptör proteinin $1 \text{ mg}/\text{ml}$ konsantrasyonda, içinde 10 mM Hepes , 150 mM NaCl olan % 1 lik Tx-114 tamponunda pH: 7,4 hazırlandı. Concanavalin A, Millipore suyunda, 10 mM Hepes , 10 mM CaCl_2 , 10 mM MnSO_4 , % 0,1 Tx-114 ve 2 mM merkapto etanol ihtiva edecek şekilde ve pH: 7,4 de hazırlandı.

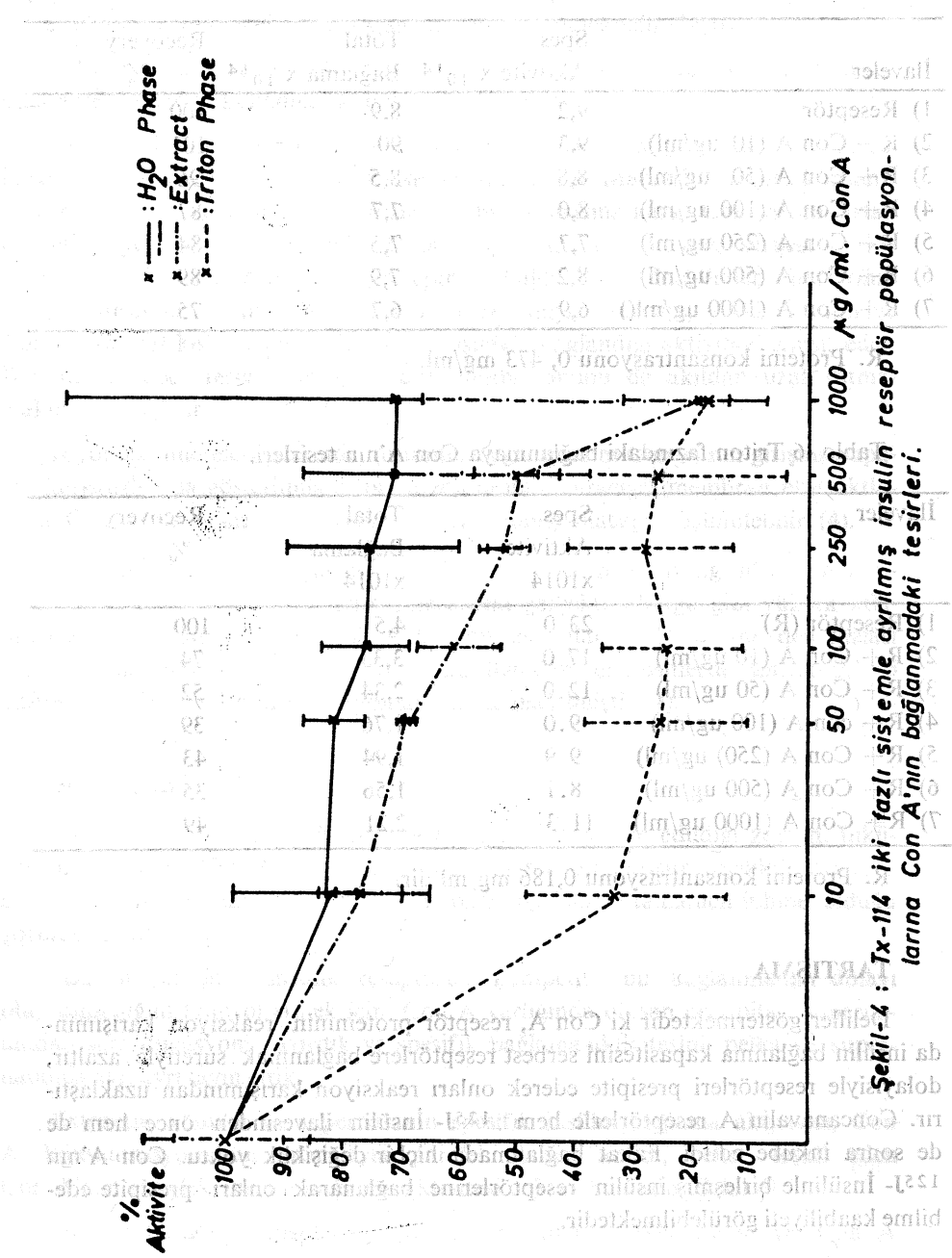
İnsülin bağlama işlemleri direkt olarak H_2O faz' (supernatant) dan gerçekleştirildi ve Tx-114 konsantrasyonu % 2'lik solüsyondan ilâve edilerek ilâve edilerek % 1'e düzeltildi. Triton fazi (sediment) yağ daması gibi elde edildi (Bu fazda, Tx-114 konsantrasyonu % 17 idi). İnsülin bağlanması işlemleri, bu fazdan ancak $4 \text{ ug}/0,3 \text{ ml}$. reseptör proteinini alınarak uygulanabildi.

Tablo 4 : Membran ekstraktlarına Con A'nın tesirleri

İlâveler	Spes. Aktivite $\times 10^{14}$	Total Bağlama $\times 10^{14}$	Recovery %
1) Reseptör (R)	9,2	8,9	100
2) R + Con A (10 ug/ml.)	7,1	6,9	77
3) R + Con A (50 ug/ml.)	5,9	5,7	64
4) R + Con A (100 ug/ml.)	5,5	5,3	60
5) R + Con A (250 ug/ml.)	4,7	4,5	51
6) R + Con A (500 ug/ml.)	4,8	4,6	52
7) R + Con A (1000 g/ml)	3,4	3,3	37

Membran ekstraktlarına insülin bağlama denemelerinde karışımında $25 \text{ ug}/\text{ml}$. reseptör proteinini kullanıldı.

Reseptör proteinini konsantrasyonu $0,968 \text{ mg}/\text{ml}$. dir.



Şekil-4 : Tx-114 iki fazlı sisteme ayrılmış insulin larına Con A'nın bağlanmadaki teşirleri.

Tablo- 5: H₂O- fazındaki bağlanmaya Con A'nın tesirleri

İlaveler	Spes Aktivite x 10 ¹⁴	Total Bağlama x 10 ¹⁴	Recovery %
1) Rezeptör	9,2	8,9	100
2) R+ Con A (10 ug/ml)	9,3	90	101
3) R+ Con A (50 ug/ml)	8,8	8,5	96
4) R+ Con A (100 ug/ml)	8,0	7,7	87
5) R+ Con A (250 ug/ml)	7,7	7,5	84
6) R+ Con A (500 ug/ml)	8,2	7,9	89
7) R+ Con A (1000 ug/ml)	6,9	6,7	75

R. Proteini konsantrasyonu 0,473 mg/ml.

Tablo -6 Triton fazındaki bağlanmaya Con A'nın tesirleri.

İlaveler	Spes Aktivite x10 ¹⁴	Total Bağlama x10 ¹⁴	Recovery %
1) Rezeptör (R)	23.0	4,5	100
2) R+ Con A (10 ug/ml)	17.0	3,33	74
3) R+ Con A (50 ug/ml)	12.0	2,34	52
4) R+ con A (100 ug/ml)	9.0	1,76	39
5) R+ Con A (250) ug/ml)	9.9	1,94	43
6) R+ Con A (500 ug/ml)	8.1	1,56	35
7) R+ Con A (1000 ug/ml)	11.3	2,21	49

R. Proteini konsantrasyonu 0,186 mg/ml dir.

TARTIŞMA

Deliller göstermektedir ki Con A, rezeptör proteininin reaksiyon karışımında insülin bağlanması kapasitesini serbest rezeptörlere bağlanmak suretiyle azaltır, dolayısıyla rezeptörleri presipite ederek onları reaksiyon karışımından uzaklaştırır. Concanavalin A rezeptörlerle hem ¹²⁵J- İnsülin ilavesinden önce hem de sonra inkübe edildi. Fakat bağlanmasıma hiçbir değişiklik yoktu. Con A'nın ¹²⁵J- İnsülinle birleşmiş insülin rezeptörlerine bağlanarak onları presipite edebilme kaabiliyeti görülebilmektedir.

Rezeptör proteinlerinin hemen tam olarak geriye alınmasının (Soluble ve insoluble fazlarda) ima ettiği husus şudur; insoluble radioaktivite, ¹²⁵J İnsülinin yaptığı tersiyer bir kompleksten oluşmaktadır ve herbir insülin rezeptörüne müsterek

bağlanmaktadır. Con A ile birleşmiş reseptörlerin çözünebilmemesine rağmen hâlâ reseptörlerin insulini bağlayabilen kısımları bulunabilmektedir (14,16). Çözünür bağlı A-14¹²⁵I-İnsülin, Tx-114 de solubilize reseptörler ve en sonunda PEG metodу kullanılarak tayin edildi. (5,15)

En yüksek Con A konsantrasyonundaki (1mg/ml) tam geri elde ediş yüzdesi maksimal azalmış bir bağlanma kapasitesini gösterdi. Mamafih Con A, konsantrasyonu arttıkça insulinin reseptörlerine bağlanmasına karşı Con A'nın artan bir inhibisyon effektinden bahsedilebilir. Çözünmiyen aktivite, serbest ¹²⁵I-İnsulin veya Con A'dan ayrı reseptöre bağlı ¹²⁵I-İnsülden herbirinin birlikte presipitasyonuna bağlı değildir. Çözünmiyen aktivite, ¹²⁵I-İnsulin ve Con A'nın ayrı kısımlarında reseptöre müsterek bağlandığı aktiviteyi temsil eder. Bununla beraber reseptörlerin bu özel inhibisyonunu da akıldan uzak tutmakta yarar vardır.

Myoblast hücreleri üzerinde, insulinin bağlanması Con A'nın girişim yaparak karıştırıldığı da gösterilmiştir, bu tarzda domuz karaciğer membran ekstraktının Con A ile uyarılmış şekliin inhibe edilmiş olacağı düşünülebilir (4).

Scatchard eğrilerinden görülebileceği üzere 5 ug/ml ve 10 ug/ml Con A konsantrasyonlarıyla, tipki insan eritrositlerindeki gerçekte olduğu gibi yüksek affiniteli kısmı kücültülmüştür. Con A konsantrasyonlarının 20 ug/ml. den fazlası bazı aglutinasyon problemleri ortaya çıkardığından eritrositlerde ancak 0,1-15 ug/ml lik Con A konsantrasyonları kullanılabilmisti (4).

SONUÇLAR

Solubilize insülin reseptörleri ¹²⁵I-İnsülin ile inkübe edildiği zaman, inkübasyondan sonra Con A ile gözle görülür bulanık bir karışım teşekkül etti ve 1 mg/ml Con A konsantrasyonunda ¹²⁵I-İnsülinin hemen tamamen inhibe olduğu görüldü (Şekil 2).

Bu inhibisyonun insüning reseptörüne kompetitif bir bağlanmadan dolayı olup olmadığını kontrol etmek için, Con A varlığında oluşan presipitati supernatandan santrifügasyonla ayırdık ve spesifik bağlama aktivitesini pellet ve supernatanda ayrı ayrı tayin ettik.

Extraktın kontrol ve supernatanın spesifik insülin bağlama aktivitesi, Con A konsantrasyonunun artmasıyla paralel olarak azaldı, pellet teşkil eden Con A'dan spesifik insülin bağlama aktivitesi çok az bulundu (Şekil 4).

Domuz karaciğeri insülin reseptörune bağlanan ¹²⁵I-insülin ve Con A arasında herhangi bir müsterek bağlanma görülmeli.

Scatchard'a göre insülin bağlama verilerinin analizleriyle eğrilerin biçimlerinin 5 ve 10 ug Con A/ml mevcudiyetinde değiştiği görüldü. Con A olmaksızın, insülin

reseptörünün yüksek affinityeli kısmı, 0,36 nM'lik bir K_D değer e sahipti, bu affinitye 0,9 ve 1,0 nM'lik değerlerle sırasıyla 5 ve 10 $\mu\text{g}/\text{ml}$ Con A konsantrasyonu mevcudiyetinde azaldı. Diğer taraftan yüksek affinityeli insülin reseptörlerinin bağlama kapasitesi, her iki konsantrasyonda hemen hemen iki misli idi.

Triton x-114 iki fazlı sisteminin domuz karaciğer membranlarından solubilize edilmiş insülin reseptör proteinlerine tatbik edilmesi iki farklı insülin reseptör populasyonu ile sonuçlandı. Con A'nın tesirleri her iki populasyonda da tespit edildi ve hidrofilik fazla (çevrili resöptör populasyonuyla insülin bağlanması hiç etkilemediği bulundu. Aksine, hidrofobik fazın (Tx-114, fazi) reseptör proteinine insülin bağlama aktivitesi, 10 $\mu\text{g}/\text{ml}$ 'lik Con A konsantrasyonunda % 20, ve 500 $\mu\text{g}/\text{ml}$ de takriben % 70 inhibe edildi. Öyleyse, insülin reseptörlerinin iki populasyonu arasındaki bu farkın moleküldeki karbonhidrat kalıntılarını ilgilendirdiğini kabulleniyoruz.

EFFECT OF CONCANAVALIN A ON TWO DISTINCT INSULIN RECEPTOR POPULATIONS FROM PORCINE LIVER MEMBRANES SEPARATED IN THE TRITON-X-114 TWO PHASE SYSTEM.

SUMMARY

Insülin receptor proteins which are prepared from pig liver membrane, solubilized in 1% Triton X-114 detergent, have been used for native insülin bindings and also the effects of the lectin concanavalin A on these bindings investigated in various concentrations. Con A has caused an inhibition of about 93 % in the concentrations of 1 mg. per ml. In normal insulin binding K_D values were increased from the level 10^{-10} nM ($3,6 \times 10^{-10}$) to 10^{-9} ($1,1 \times 10^{-9}$). By this way Con A, with its concentration of 10 $\mu\text{g}/\text{ml}$, has proved that the affinity of receptor for insulin was decreased.

The inhibition effects of Con A on insulin receptors, which could be separated in to two different phases by Tx-114 detergent was seen in two different ways. That is, while the receptors remained in the supernatant phase could maintain the normal binding of insulin almost completely, no binding was seen in the triton phase.

Therefore, it was supposed that the insulin receptors could form two distinct populations.

Although, Con A had the inhibitive effects on total membrane extract, supernatant phase or sediment the inhibition was mostly seen in Tx-114 phase, also showed that the receptor had two different populations. Because, by the way of Con A inhibition, two descending parts of the receptors binding plots with high affinity and low capacity turns into low affinity and high capacity

form. Since that difference was highest in the Tx-114 phase, receptor population with low affinity could be collected in the sediment.

Insulin receptor population which showed high binding affinity in supernatant may be a source of radioreceptor insulin determination methods in its more purified state.

The experimental details are given in the results section.

KAYNAKLAR

- 1) Cuatrecasas, P. (1973) J. Biol. Chem. 248, 3528-3534.
- 2) Katzen, H.M. and Mumford, R.A. (1976) Fed. Proc. 35, 1719.
- 3) Katzen, H.M., Vicario, P.P., Mumford, R.A. and Green, B.G. (1981) Biochemistry 20, 5800-5809.
- 4) Herzberg, V. Boughter, J.M., Carlisle, S. and Hill, D.E., (1980). Nature 286, 279-281.
- 5) Katzen, H.M., Soderman, D.D. and Green, B.G. (1981) BBRC 98, 410-416.
- 6) Meyer, H.e., Bücker, U., PaBlack, W. and Reinauer, H. (1982) manuscript in preparation.
- 7) Meyer, H.E., Bubenzier, H.-J., Herbertz, L, Kuehn, L. and Reinauer, H., (1981) Hoppe-Seyler's Z. Physiol. Chem. 362, 1621-1629.
- 8) Lowry, O.H., Rosebrough, N.J., Farr, A.L., and Randall, R. (1951) J. Biol. Chem. 193, 265-275.
- 9) Cuatrecasas, P. (1972) J. Biol. Chem. 247, 1980-1991.
- 10) Scatchard, G. (1949) Ann. N.Y. Acad. Sci. 51, 660-672.
- 11) Bordier, C. (1981) J. Biol. Chem. 256, 1604-1607.
- 12) Gambhir, K.K., Archer, J.A. and Bradly, C.J. (1978) Diabetes 27, 701-708.
- 13) Sumner, J.B. and Howell, S.F. (1936) J. Biol. Chem. 115, 583.
- 14) Jacops, S., Hazum E., Shechter, Y., Cuadrecasas P. (1979) Biochemistry 76: 10, 4918-4921.
- 14) Cuatrecasas, P. (1972) Proc. Natl. Acad. Sci 69: 5, 1277-1281.
- 16) Jacops, S., Shechter, Y., Bissell, K., Cuadrecasas, P. (1977) Biochim. Biophys. Res. Com. 77 : 3, 981-988.